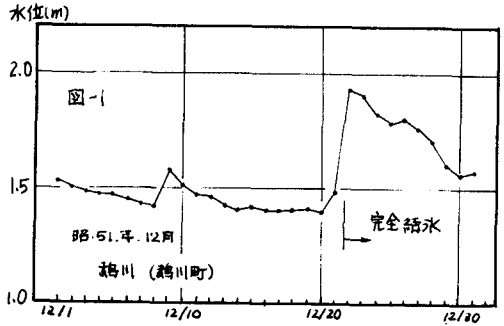
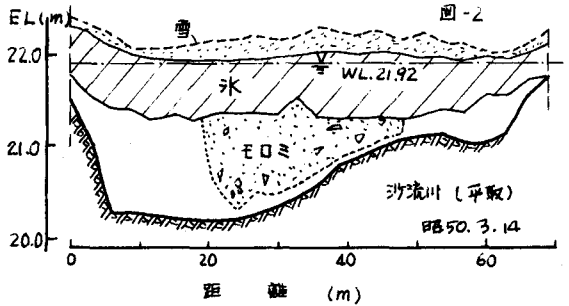


1 はじめに

結氷河川における水理は 非結氷期における流れとは異なり、それに伴、異常な水位上昇が生ずることがある。この原因としては 前報告<sup>1)</sup>に述べたように、(1) ice cover の存在し、洄曲が半減し、氷盤の粗さは 河床の粗度係数が一定としても、季節的に変化する。さらに水位計による水位(氷盤に穴をあけた場合の水面の高さ)は 氷厚の増減にも関連している。(2) ice fragile (モロミ)の流



下の在り 河川緩流部では、これが滞留して 流水面積をせばめる。又、Pancake 状に成長した氷は 流路中の弯曲部、狭さく部、河口など、水面につまりはじめ、上流に波及していくが、これは大きな背水を伴うことになる。図-1は 鶺鴒川(鶺鴒町)における昨年冬の 結氷前後の水位変化を示したが、上流より流下した氷が 河口よりしばらくに堆積して 完全結氷直後(12月22日頃)に 大きな水位上昇がみられる。この時期の流出が 地下水によるものであることを考えれば、その後の水位低下は、氷盤下面の粗さが、徐々に平坦化したために生じたことと推察される。



Michael<sup>2)</sup>によれば、Y連の河川において 厳寒期の氷の粗度係数の観測値の平均は 0.008~0.01 であるが、氷の流下、堆積による結氷初期には この5倍程度の大きなもの。氷の発生による水位上昇の現象は 河川の地形的な特徴とも関連しているが、結氷期の気象条件が最も支配的である。い、とん、ice cover が出来あがれば、氷の成長は 気温や、降水量によ、こまろ、てし、り、河川の全面結氷は急流部では生じない。

岸<sup>3)</sup>は 北海道の河川について  $F_r = 0.2$  まで結氷の可能性があり、 $F_r > 0.4$  では 結氷しないという結果を述べているが、モロミの発生は 開水面に限られるため、上流急流部でのモロミの発生量は気象条件に負うところが大きく、この流下によ、こ、下流緩流部に 滞留し、セキ上げが生ずるからである。

図-2には 昭和50年3月14日、砂流川(平取)における 流量観測時の河川断面を示したが、モロミが、流積中の大きな部分を占めている。モロミは 氷の結晶の集合体であるが、各々の附着は弱く、流れに付してはそれほどの抵抗力をもたないようには観望されるが、一旦 滞留すると 流速が 60 cm/s 程度でも 剥離を生じない場合がみられた。一般に、流量観測では、モロミ内の流速はないとして 死水域とみなしている。

本研究は、氷盤のある流れの基礎式を示し、結氷期の水位上昇について考察したものである。

2 水位上昇量のみつくり

ice cover のある流れの運動方程式は、氷盤が水面にういていると考えよ、い、り、水深を  $h$ 、氷厚を  $H$ 、氷の単位重量を  $w'$ 、水の単位重量を  $w$  として 次式のように表わされる。

$$\frac{w'}{w} \frac{\partial H}{\partial x} + \left( \alpha \frac{Q^2 B}{g A^3} - 1 \right) \frac{\partial h}{\partial x} - S_f + S_0 = \frac{1}{g A} \frac{\partial Q}{\partial t} + \frac{2Q}{g A^2} \frac{\partial Q}{\partial x} \quad (1)$$

上式は 左辺第一項を除いて 開水路の運動方程式と同一である。  $S_0$  は河床勾配,  $S_f$  は河床と氷盤下面によるマサリ勾配をあらわす。 流れが定常で 応矩形断面水路を考えれば (2)式がえられる。

$$\frac{dh}{dx} = i \frac{b(l^2 - l_0^2)}{l^3 - l_0^3} \quad \text{但し} \quad b = 1 - \frac{w'}{w} \frac{\partial H}{\partial x} \quad (2)$$

$l_0$  は等流水深と氷盤下面より河床より深い。  $l$  は限界水深であるが (2)式で  $x=0, l=l_0$  の境界条件を積分して

$$\frac{dh}{(h_0/\sqrt{b})} = \frac{h_1 - h}{(h_0/\sqrt{b})} + \left( 1 - \frac{h_0^2}{(h_0/\sqrt{b})^3} \right) \left\{ B \left( \frac{h_0/\sqrt{b}}{h} \right) - B \left( \frac{h_0/\sqrt{b}}{h_1} \right) \right\} \quad (3)$$

となり  $dh/dx$  が与えられれば 局部的な氷の堆積によるセキ上げの背水域も決まることとなる。 しかしながら(3)式を用いて 水位観測地点の等流水深からの水位の変化量と求めるためには、近傍に 他の水位観測施設が必要となる。 又、 $dh/dx$  の値は 断期的に変化し、この値を本日の作業も容易ではない。

本報告においては (3)式を用いずに、水位観測地点が 背水の影響をうけず 氷厚一様な区間にあるものと仮定して 結氷期の水深  $h_1$  と、非結氷期の水深  $h_0$  と、同じ流量について どのような関係にあるかを調べてみた。 例えは、マニング公式を用い、応矩形断面の水路の場合、結氷期、非結氷期を通じて 断面の相度係数が変わらないものと考えれば、同じ流量について  $h_1 = 1.32 h_0$  の関係がえられる。 一様断面の場合でも、結氷期の  $AR^{2/3}/n_0$  ( $n_0$ : 氷盤と河床による合成相度係数) を計算し、この値に等しい、非結氷期の  $AR^{2/3}/n_1$  ( $n_1$ : 河床による相度係数) のときの水位を求めれば、この水位が非結氷期の水位 - 流量曲線に対応する相当水位となる。 北海道開発局の流量観測資料を用いて 各観測点々々 (結氷期) の相当水位を求め、水位流量式に代入して流量を求め、実測の流量と比較したものが 図3である。 これによれば、補正值が やや小さく計算される場合もあるが、ほぼ通常の水位 - 流量の関係式のばらつき程度の程度にあさましている。

### 3 まとめ

セキが局部的に滞留することによって生ずる背水の影響のない場合に於いては、結氷期の水位を補正して 非結氷期の水位 - 流量曲線を用いることは可能である。 今後は 氷盤の相度係数について 資料を貯蓄していくことが必要である。 又、セキのある場合についての調査、研究は 今後に残されるが、水位観測所をセキのないような断面へ移設するなどの抜本的な対策も考えられる。

なお、本調査を行うにあたり、北海道開発局の諸氏と 表平大志、土木工学科の皆様には多大の御援助と頂いたのび 感謝の意を表します。

#### [ 参考文献 ]

- 1) 平山吉田長敏: 結氷河川流量の推定について、土木学会第116回年次学術講演会 取要集、昭和57年10月
- 2) B. Michel: Winter Regime of Rivers and Lakes, April 1971, Cold Regions Science and Engineering M.111B1
- 3) 岸甲尾: 北海道における河川の結氷と冬期流量について、土木学会第116回年次学術講演会 取要集、昭和56年。

